THÍCH ỨNG THANG ĐO KIỆT SỨC NGHỀ NGHIỆP (BAT-23) TRÊN NGƯỜI LAO ĐỘNG TRẺ TUỔI TẠI VIỆT NAM

Huỳnh Phát Đạt
Học viên cao học, Trường Đại học Sư Phạm Thành phố Hồ Chí Minh
Email: huynhphatdatpsy@gmail.com

Tóm tắt: *Nghiên cứu này nhằm thích ứng thang đo và kiểm định đặc tính tâm trắc thang đo Kiệt sức nghề nghiệp phiên bản 23 câu (BAT-23) trên 552 người lao động trẻ tuổi tại Việt Nam. Phân tích dữ liệu bằng Cronbach's Alpha, EFA và CFA. Kết quả cho thấy các tiểu thang có độ tin cậy tốt, với hệ số dao động từ 0,850 đến 0,875. Mô hình bốn nhân tố phù hợp tốt với dữ liệu (χ^2/df = 2,067; CFI = 0,996; RMSEA = 0,044). Kết quả cung cấp bằng chứng ban đầu về độ tin cậy và độ hiệu lực cấu trúc của BAT-23 trên người lao động trẻ tuổi tại Việt Nam.*

Từ khóa*: BAT-23; Đặc tính tâm trắc; Kiệt sức nghề nghiệp; Người lao động trẻ tuổi.*

ADAPTATION OF THE BURNOUT ASSESSMENT TOOL (BAT-23) AMONG YOUNG WORKERS IN VIETNAM

Abstract: *This study aimed to adapt the 23-item Burnout Assessment Tool (BAT-23) and evaluate its psychometric properties among 552 young workers in Vietnam. Data were analyzed using Cronbach's alpha, exploratory factor analysis (EFA), and confirmatory factor analysis (CFA). The results showed that the subscales demonstrated good internal consistency, with reliability coefficients ranging from 0.850 to 0.875. The four-factor model showed a good fit to the data (χ^2/df = 2.067, CFI = 0.996, RMSEA = 0.044). These findings provide preliminary evidence supporting the reliability and structural validity of the BAT-23 among young workers in Vietnam.*

Keywords: *BAT-23; Burnout; Psychometric properties; Young workers.*

Nhận bài: 17/07/2026 *Phản biện: 17/08/2026* *Duyệt đăng: 20/08/2026*

I. ĐẶT VẤN ĐỀ

Kiệt sức nghề nghiệp đang trở thành một vấn đề sức khỏe tâm thần đáng quan tâm trong bối cảnh môi trường làm việc ngày càng nhiều áp lực và biến động. Theo Tổ chức Y tế Thế giới, kiệt sức nghề nghiệp là một hiện tượng nghề nghiệp phát sinh từ trạng thái căng thẳng kéo dài trong công việc nhưng không được quản lý hiệu quả. Tình trạng này không chỉ làm suy giảm hiệu quả công việc mà còn liên quan đến nhiều hệ quả tiêu cực như lo âu, trầm cảm, giảm chất lượng cuộc sống và gia tăng ý định nghỉ việc (Maslach & Leiter, 2016; World Health Organization, 2019). Người lao động trẻ tuổi được xem là nhóm có nguy cơ cao do phải đối mặt với những yêu cầu công việc, áp lực thành tích và sự thiếu ổn định trong giai đoạn đầu của quá trình phát triển nghề nghiệp.

Để đánh giá kiệt sức nghề nghiệp, nhiều công cụ đo lường đã được phát triển, trong đó thang đo Kiệt sức Maslach được sử dụng rộng rãi (Maslach & Jackson, 1981). Tuy nhiên, một số hạn chế về cấu trúc lý thuyết và khả năng phản ánh đầy đủ các biểu hiện của kiệt sức trong bối cảnh lao động hiện đại đã thúc đẩy sự ra đời của thang đo Kiệt sức nghề nghiệp phiên bản 23 câu, gọi tắt là BAT-23. Thang đo này gồm bốn thành tố cốt lõi: Cạn kiệt, Xa cách công việc, Suy giảm chức năng nhận thức và Suy giảm chức năng cảm xúc (Schaufeli et al., 2020). So với các thang đo trước đây, BAT-23 không chỉ đánh giá sự cạn kiệt về năng lượng mà còn xem xét sự suy giảm khả năng nhận thức và cảm xúc của người lao động.

BAT-23 đã được kiểm định tại nhiều quốc gia và cho thấy độ tin cậy, độ hiệu lực cũng như cấu trúc bốn nhân tố tương đối ổn định (de Beer et al., 2020; Redelinghuys & Morgan, 2023). Tuy nhiên, tại Việt Nam, phần lớn các nghiên cứu về kiệt sức nghề nghiệp vẫn sử dụng các thang đo thế hệ cũ hoặc chủ yếu mô tả thực trạng mà chưa chú trọng kiểm định đặc tính tâm trắc của các thang đo mới. Hiện vẫn còn thiếu bằng chứng hệ thống về độ tin cậy và độ hiệu lực cấu trúc của BAT-23 trên người lao động Việt Nam.

Vì vậy, nghiên cứu này được thực hiện nhằm đánh giá các đặc tính tâm trắc của BAT-23 trên nhóm người lao động trẻ tuổi tại Việt Nam, tập trung vào độ tin cậy và độ hiệu lực cấu trúc thông qua phân tích nhân tố khám phá và phân tích nhân tố khẳng định. Kết quả nghiên cứu được kỳ vọng sẽ cung cấp thêm bằng chứng khoa học cho việc sử dụng BAT-23 trong nghiên cứu, sàng lọc và đánh giá kiệt sức nghề nghiệp ở người lao động trẻ tuổi Việt Nam.

II. NỘI DUNG NGHIÊN CỨU

2.1. Phương pháp nghiên cứu

2.1.1. Đối tượng nghiên cứu

Nghiên cứu được thực hiện trên 552 người lao động trẻ tuổi từ 25 đến dưới 40 tuổi. Mẫu nghiên cứu được lựa chọn theo phương pháp chọn mẫu thuận tiện và thu thập dữ liệu bằng bảng hỏi trực tuyến. Thành phần mẫu gồm 211 nam (38,2%) và 341 nữ (61,8%); trong đó 330 người độc thân (59,8%) và 222 người đã kết hôn (40,2%). Đặc điểm chi tiết của mẫu được trình bày trong Bảng 1.

Bảng 1. Đặc điểm của mẫu nghiên cứu (n = 552)

Tiêu chí	Nhóm	Số lượng	Tỷ lệ (%)
Giới tính	Nam	211	38,2
	Nữ	341	61,8
Nhóm tuổi	25 đến dưới 30 tuổi	298	54,0
	30 đến dưới 35 tuổi	143	25,9
	35 đến dưới 40 tuổi	111	20,1
Tình trạng hôn nhân	Độc thân	330	59,8
	Đã kết hôn	222	40,2
Tổng		**552**	**100**

2.1.2. Quy trình nghiên cứu

Quy trình thích ứng BAT-23 được thực hiện dựa trên gợi ý của Tran (2009) và điều chỉnh phù hợp với điều kiện nghiên cứu. Hai người có năng lực tiếng Anh thực hiện dịch xuôi thang đo từ tiếng Anh sang tiếng Việt, đối chiếu và thống nhất bản dịch. Từ bản dịch này, hai thành viên tiếp tục dịch ngược sang tiếng Anh và thảo luận để thống nhất phiên bản dịch ngược. Một giảng viên có học vị Tiến sĩ chuyên ngành Tâm lý học đánh giá sự tương đương giữa bản gốc, bản dịch xuôi và bản dịch ngược. Phiên bản tiếng Việt sau hiệu đính được thử nghiệm trên 150 người lao động trẻ tuổi. Dữ liệu được phân tích bằng Jamovi 2.7.30 với Cronbach's Alpha và EFA. Kết quả thử nghiệm tiếp tục được chuyên gia xem xét trước khi thống nhất phiên bản sử dụng trong nghiên cứu chính thức.

2.1.3. Công cụ nghiên cứu

Các biến nhân khẩu học: Chúng tôi sử dụng các biến nhân khẩu học là giới tính, tình trạng hôn nhân và độ tuổi.

Thang đo kiệt sức nghề nghiệp (BAT-23): Thang đo này được Schaufeli và cộng sự (2020) phát triển nhằm đo lường kiệt sức nghề nghiệp ở người lao động. Thang đo này bao gồm 23 item, được tính theo dạng Likert 5 bậc (1 = Không bao giờ, 2 = Hiếm khi, 3 = Đôi khi, 4 = Thường xuyên và 5 = Luôn luôn). BAT-23 bao gồm bốn nhân tố là Cạn kiệt (8 item) (ví dụ: "Tại nơi làm việc, tôi cảm thấy kiệt quệ về mặt tinh thần") và Xa cách công việc (5 item) (ví dụ "Tôi cảm thấy thờ ơ với công việc của mình") và Suy giảm chức năng nhận thức (5 item) (ví dụ "Tôi hay quên và dễ bị phân tâm khi làm việc") và Suy giảm chức năng cảm xúc (5 item) (ví dụ "Tôi buồn bã hoặc khó chịu tại nơi làm việc mà không biết lý do vì sao"). Điểm tổng của thang đo được tính bằng điểm trung bình của 23 item; điểm tổng càng cao cho thấy mức độ kiệt sức nghề nghiệp càng cao.

2.1.4. Phân tích dữ liệu

Phần mềm Jamovi 2.7.30 được sử dụng để phân tích độ tin cậy được đánh giá thông qua hệ số Cronbach's Alpha và phân tích nhân tố khám phá (EFA) được thực hiện nhằm xem xét cấu trúc nhân tố của thang đo. Tiếp theo, phân tích nhân tố khẳng định (CFA) được tiến hành bằng module SEMLj trong Jamovi nhằm kiểm định mức độ phù hợp của mô hình đo lường. Các chỉ số được sử dụng để đánh giá độ phù hợp mô hình bao gồm χ^2/df, CFI, TLI, RMSEA và SRMR. Các tiêu chí đánh giá mô hình được tham khảo từ Hu và Bentler (1999), Hair và cộng sự (2010). Cụ thể, mô hình được xem là phù hợp khi $\chi^2/df \leq 3$, CFI và TLI $\geq 0,90$, RMSEA $\leq 0,08$ và SRMR $\leq 0,08$. Đối với độ tin cậy và độ hiệu lực, Cronbach's Alpha $\geq 0,70$, AVE $\geq 0,50$ và HTMT $< 0,85$ được xem là đạt yêu cầu.

2.2. Kết quả nghiên cứu

2.2.1. Đặc điểm thống kê và các tiểu thang đo của BAT-23 ở nghiên cứu thử nghiệm

Phiên bản thang đo thử nghiệm BAT-23 được phân phát trên nhóm mẫu (n = 150) bao gồm 106 nữ và 44 nam, 112 khách thể độc thân và 38 khách thể đã kết hôn. Phân tích hệ số tin cậy cho thấy,

thang đo có hệ số Cronbach's Alpha toàn thang là 0,962. Hệ số CITC đạt mức từ 0,490 – 0,829.

Khi phân tích nhân tố khám phá (EFA), các item có hệ số tải nhân tố ở một nhóm nhỏ hơn 0,5 sẽ bị loại khỏi nhóm nhân tố đó. Kết quả cho thấy, các item hội tụ thành bốn nhóm nhân tố với hệ số tải từ 0,504 tới 0,836 (KMO = 0,94; p < 0,000), giải thích được 72,5% kiệt sức nghề nghiệp. Nhân tố 1 gồm các item 1, 2, 3, 4, 5, 6, 7, 8. Nhân tố 2 gồm các item 9, 10, 11, 12, 13, Nhân tố 3 gồm các item 14, 15, 16, 17, 18, Nhân tố 4 gồm các item 19, 20, 21, 22, 23. Thang đo đã giữ được cấu trúc lý thuyết và tiếp tục đưa vào giai đoạn nghiên cứu tiếp theo.

Bảng 2. Kết quả phân tích nhân tố khám phá BAT-23 trong nghiên cứu thử nghiệm

Biến quan sát	Nhân tố			
	1	2	3	4
Nhân tố 1				
EX3	0,757	0,258	0,275	0,145
EX8	0,752	0,329	0,203	0,083
EX4	0,748	0,190	0,221	0,157
EX1	0,722	0,067	0,280	0,212
EX2	0,671	-0,005	0,021	0,336
EX7	0,658	0,323	0,238	0,151
EX6	0,597	0,419	0,266	0,177
EX5	0,571	0,390	0,386	0,186
Nhân tố 2				
CI17	0,255	0,807	0,234	0,244
CI16	0,302	0,794	0,252	0,183
CI14	0,215	0,726	0,383	0,233
CI18	0,213	0,720	0,234	0,366
CI15	0,251	0,636	0,391	0,440
Nhân tố 3				
MD13	0,308	0,288	0,758	0,171
MD11	0,248	0,212	0,746	0,356
MD12	0,278	0,260	0,735	0,329
MD9	0,319	0,346	0,713	0,157
MD10	0,211	0,266	0,592	0,318
Nhân tố 4				
EI23	0,169	0,186	0,228	0,836
EI19	0,181	0,238	0,379	0,737
EI20	0,207	0,339	0,204	0,733
EI21	0,282	0,218	0,190	0,731
EI22	0,376	0,295	0,463	0,504

2.2.2. Đặc điểm thống kê và các tiểu thang đo của BAT-23 ở nghiên cứu chính thức

• *Độ tin cậy*

Độ tin cậy của thang đo BAT-23 tổng thể với hệ số Cronbach's Alpha là 0,941 và hệ số CITC dao động từ 0,279 – 0,693. Độ tin cậy của từng tiểu thang đo. Độ tin cậy của tiểu thang đo Cạn kiệt, Xa cách công việc, Suy giảm chức năng nhận thức, Suy giảm chức năng cảm xúc đều ở mức tốt (lần lượt là 0,870; 0,850; 0,875 và 0,862). Kết quả cho thấy thang đo đảm bảo tính nhất quán bên trong.

• *Độ hiệu lực cấu trúc*

Thang BAT-23 được đưa vào phân tích nhân tố khám phá (EFA) trên phần mềm Jamovi trên nhóm mẫu (n = 552) bao gồm 341 nữ và 211 nam, 330 khách thể độc thân và 222 khách thể đã kết hôn.

Khi phân tích nhân tố khám phá (EFA), các item có hệ số tải nhân tố ở một nhóm nhỏ hơn 0,5 sẽ bị loại khỏi nhóm nhân tố đó. Kết quả cho thấy, các item hội tụ thành bốn nhóm nhân tố với hệ số tải từ 0,539 tới 0,819 (KMO = 0,95; p = 0,000), giải thích được 61,8% kiệt sức nghề nghiệp. Nhân tố 1 gồm các item 1, 2, 3, 4, 5, 6, 7, 8. Nhân tố 2 gồm các item 9, 10, 11, 12, 13, Nhân tố 3 gồm các item 14, 15, 16, 17, 18, Nhân tố 4 gồm các item 19, 20, 21, 22, 23. Thang đo vẫn giữ được cấu trúc lý thuyết và tiếp tục đưa vào giai đoạn nghiên cứu tiếp theo.

Bảng 3. Kết quả phân tích nhân tố khám phá BAT-23 trong nghiên cứu chính thức

Biến quan sát	Nhân tố			
	1	2	3	4
Nhân tố 1				
EX1	0,717	0,120	0,248	0,132
EX8	0,695	0,115	0,125	0,277
EX3	0,694	0,177	0,232	0,192
EX4	0,689	0,158	0,322	0,093
EX2	0,667	0,098	-0,132	-0,028
EX7	0,584	0,194	0,263	0,266
EX5	0,560	0,191	0,378	0,227
EX6	0,538	0,149	0,287	0,379
Nhân tố 2				
EI23	0,093	0,819	0,208	0,134
EI19	0,208	0,710	0,235	0,200
EI20	0,140	0,705	0,195	0,267
EI21	0,235	0,680	0,153	0,253
EI22	0,204	0,666	0,274	0,239
Nhân tố 3				
MD11	0,174	0,324	0,696	0,190
MD9	0,315	0,084	0,685	0,214
MD12	0,155	0,308	0,682	0,295
MD13	0,164	0,282	0,659	0,303
MD10	0,240	0,298	0,596	0,169
Nhân tố 4				
CI17	0,200	0,226	0,207	0,803
CI16	0,278	0,214	0,135	0,753
CI14	0,176	0,259	0,336	0,665
CI15	0,163	0,357	0,351	0,603
CI18	0,172	0,375	0,310	0,572

• Độ hiệu lực nội dung

Thang BAT-23 được đưa vào chạy mô hình phân tích nhân tố khẳng định (CFA) trên phần mềm Jamovi. Ngoài mô hình bốn tố theo lý thuyết xây dựng thang đo, chúng tôi cũng kiểm định các mô hình các mô hình cấu trúc nhân tố khác để so sánh và đánh giá mô hình phù hợp nhất.

Thang BAT-23 được đưa vào phân tích nhân tố khẳng định (CFA) bằng phần mềm Jamovi nhằm kiểm định cấu trúc nhân tố của thang đo. Bên cạnh mô hình bốn nhân tố theo lý thuyết của Schaufeli và cộng sự (2020), nghiên cứu cũng kiểm định mô hình một nhân tố để so sánh và đánh giá mức độ phù hợp của các cấu trúc nhân tố với dữ liệu thực tế (Bảng 4).

Kết quả cho thấy mô hình một nhân tố có chỉ số $\chi^2/df = 7,93$ và RMSEA = 0,112, vượt quá ngưỡng khuyến nghị, trong khi SRMR = 0,081 ở mức cận biên. Mặc dù các chỉ số CFI = 0,973 và TLI = 0,970 đạt mức tốt, mô hình một nhân tố nhìn chung chưa thể hiện sự phù hợp tối ưu với dữ liệu.

Ngược lại, mô hình bốn nhân tố theo cấu trúc lý thuyết của BAT-23 cho thấy mức độ phù hợp rất tốt với dữ liệu thực tế, với $\chi^2/df = 2,06$, CFI = 0,996, TLI = 0,995, RMSEA = 0,044 và SRMR = 0,043. Các chỉ số này đều đáp ứng các tiêu chuẩn đánh giá độ phù hợp mô hình được đề xuất bởi Hu và Bentler (1999).

Kết quả cho thấy AVE của các thành tố đều lớn hơn 0,50 (AVE = 0,513 – 0,652) đáp ứng tiêu chuẩn giá trị hội tụ theo Henseler và cộng sự (2015). Đồng thời, các hệ số HTMT đều nhỏ hơn 0,85 (HTMT = 0,594 – 0,817), khẳng định giá trị phân biệt của thang đo. Do đó, thang đo BAT-23 đạt yêu cầu về độ hiệu lực cấu trúc. Kết quả này ủng hộ cấu trúc gồm bốn thành tố của BAT-23 bao gồm Cạn kiệt, Xa cách công việc, Suy giảm chức năng nhận thức và Suy giảm chức năng cảm xúc, đồng thời phù hợp với mô hình lý thuyết ban đầu của Schaufeli và cộng sự (2020). Do đó, có thể chấp nhận độ hiệu lực cấu trúc của thang đo BAT-23 trên mẫu người lao động trẻ tuổi tại Việt Nam.

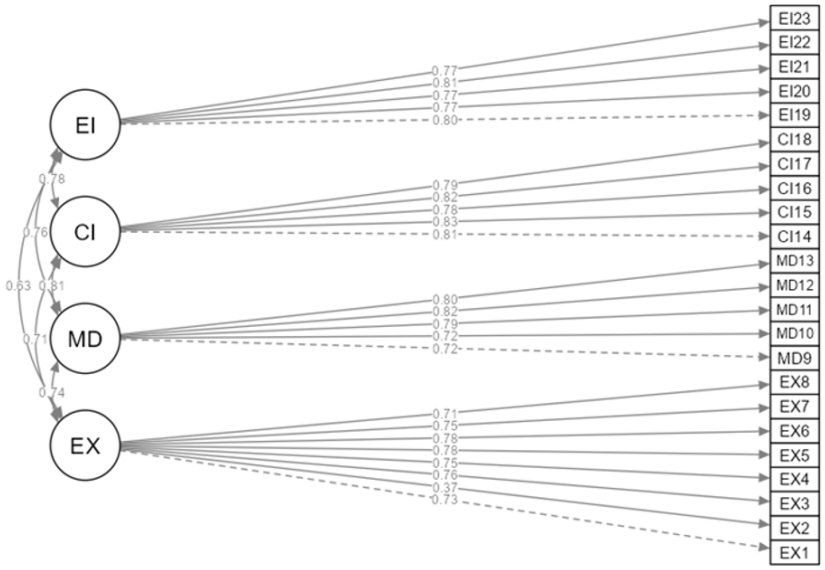

Hình 1. Kết quả phân tích nhân tố khẳng định mô hình 4 nhân tố theo lý thuyết của BAT-23

Từ kết quả trên, có thể thấy BAT-23 phù hợp với mô hình bốn nhân tố theo lý thuyết của Schaufeli và cộng sự (2020). Nhân tố 1 gồm các item 1 tới 8 đề cập về Cạn kiệt. Nhân tố 2 gồm các item 9 tới 13 đề cập tới xa cách công việc, Nhân tố 3 gồm các item 14 tới 18 đề cập về suy giảm chức năng nhận thức, Nhân tố 4 gồm các item 19 tới 23 đề cập về suy giảm chức năng cảm xúc.

III. KẾT LUẬN

Kết quả nghiên cứu cho thấy BAT-23 trên mẫu người lao động trẻ tuổi Việt Nam có độ tin cậy tốt. Hệ số Cronbach's Alpha của thang đo tổng thể đạt 0,941 và các tiểu thang dao động từ 0,850 đến 0,876. Kết quả này tương đồng với nghiên cứu gốc của Schaufeli và cộng sự (2020), cũng như các nghiên cứu kiểm định BAT-23 tại nhiều quốc gia khác như Hà Lan, Bỉ và Nam Phi (de Beer và cộng sự, 2020; Redelinghuys & Morgan, 2023). Điều này cho thấy các item của BAT-23 có tính nhất quán nội tại cao và phản ánh ổn định cấu trúc kiệt sức nghề nghiệp trên nhóm người lao động trẻ tuổi Việt Nam.

Về độ hiệu lực cấu trúc, kết quả phân tích nhân tố khám phá cho thấy 23 item của BAT-23 hội tụ thành bốn nhân tố, giải thích được 72,5% phương sai của cấu trúc kiệt sức nghề nghiệp. Cấu trúc này hoàn toàn phù hợp với mô hình lý thuyết ban đầu gồm Cạn kiệt, Xa cách công việc, Suy giảm chức năng nhận thức và Suy giảm chức năng cảm xúc do Schaufeli và cộng sự (2020) đề xuất. Kết quả này cho thấy các biểu hiện của kiệt sức nghề nghiệp ở người lao động trẻ tuổi Việt Nam vẫn duy trì được sự phân hóa tương tự như tại các bối cảnh văn hóa khác.

Kết quả phân tích nhân tố khẳng định tiếp tục cung cấp bằng chứng về độ phù hợp của mô hình bốn nhân tố. So với mô hình một nhân tố, mô hình bốn nhân tố cho thấy mức độ phù hợp rất tốt với dữ liệu thực tế ($\chi^2/df = 2,06$; CFI = 0,996; TLI = 0,995; RMSEA = 0,044; SRMR = 0,043). Những chỉ số này đáp ứng các tiêu chuẩn đề xuất bởi Hu và Bentler (1999), đồng thời tái khẳng định cấu trúc lý thuyết của BAT-23. Kết quả này cũng phù hợp với các nghiên cứu trước đây tại châu Âu và Nam Phi khi đều ủng hộ mô hình bốn nhân tố thay vì mô hình một nhân tố tổng quát (de Beer

và cộng sự, 2020; Schaufeli và cộng sự, 2020; Redelinghuys & Morgan, 2023).

Bên cạnh đó, kết quả phân tích HTMT cho thấy các giá trị giữa các cặp nhân tố đều nhỏ hơn ngưỡng khuyến nghị 0,85 của Henseler và cộng sự (2015), chứng tỏ bốn thành tố của BAT-23 có độ hiệu lực phân biệt tốt. Điều này cho thấy mặc dù các thành tố cùng phản ánh một cấu trúc chung là kiệt sức nghề nghiệp, mỗi thành tố vẫn thể hiện những khía cạnh riêng biệt của hội chứng này. Kết quả này góp phần củng cố thêm bằng chứng về giá trị cấu trúc của BAT-23 trên người lao động trẻ tuổi tại Việt Nam.

Nhìn chung, nghiên cứu hiện tại cho thấy BAT-23 giữ được cấu trúc lý thuyết ban đầu và đảm bảo các đặc tính tâm trắc cần thiết trên mẫu người lao động trẻ tuổi Việt Nam. Do đó, BAT-23 có thể được xem là một thang đo phù hợp để sử dụng trong các nghiên cứu tiếp theo cũng như trong công tác sàng lọc, đánh giá và nhận diện sớm tình trạng kiệt sức nghề nghiệp ở người lao động Việt Nam. Tuy nhiên, các nghiên cứu tiếp theo cần mở rộng phạm vi khách thể, đồng thời kiểm định thêm tính bất biến đo lường giữa các nhóm nhân khẩu học nhằm củng cố hơn nữa giá trị ứng dụng của thang đo này.

TÀI LIỆU THAM KHẢO

de Beer, L. T., Schaufeli, W. B., De Witte, H., Hakanen, J., Shimazu, A., Glaser, J., Seubert, C., Bosak, J., Sinval, J., & Rudnev, M. (2020). Measurement invariance of the Burnout Assessment Tool (BAT) across seven cross-national representative samples. International Journal of Environmental Research and Public Health, 17(15), 5604. https://doi.org/10.3390/ijerph17155604

Hair, J. F., Black, W. C., Babin, B. J., & Anderson, R. E. (2010). Multivariate data analysis (7th ed.). Pearson.

Henseler, J., Ringle, C. M., & Sarstedt, M. (2015). A new criterion for assessing discriminant validity in variance-based structural equation modeling. Journal of the Academy of Marketing Science, 43(1), 115–135. https://doi.org/10.1007/s11747-014-0403-8

Hu, L. T., & Bentler, P. M. (1999). Cutoff criteria for fit indexes in covariance structure analysis: Conventional criteria versus new alternatives. Structural Equation Modeling: A Multidisciplinary Journal, 6(1), 1–55. https://doi.org/10.1080/10705519909540118

Lê Thị Thanh Nguyện. (2022). Kiệt sức nghề nghiệp ở điều dưỡng Bệnh viện Chấn thương Chỉnh hình Thành phố Hồ Chí Minh và yếu tố liên quan. Tạp chí Nghiên cứu Y học, 155(7), 177–186. https://doi.org/10.52852/TCNCYH.V155I7.897

Lê Vũ Hà. (2025). Sự kiệt sức nghề nghiệp của giáo viên: Nghiên cứu theo các yếu tố nhân khẩu học. Tạp chí Giáo dục, 25(10). https://tcgd.tapchigiaoduc.edu.vn/index.php/tapchi/article/view/3339/1127

Maslach, C., & Jackson, S. E. (1981). The measurement of experienced burnout. Journal of Organizational Behavior, 2(2), 99–113. https://doi.org/10.1002/job.4030020205

Maslach, C., & Leiter, M. P. (2016). Understanding the burnout experience: Recent research and its implications for psychiatry. World Psychiatry, 15(2), 103–111. https://doi.org/10.1002/wps.20311

Redelinghuys, K., & Morgan, B. (2023). Psychometric properties of the Burnout Assessment Tool across four countries. BMC Public Health, 23, 824. https://doi.org/10.1186/s12889-023-15604-z

Schaufeli, W. B., Desart, S., & De Witte, H. (2020). The Burnout Assessment Tool (BAT)—Development, validity, and reliability. International Journal of Environmental Research and Public Health, 17(24), 9495. https://doi.org/10.3390/ijerph17249495

Tran, T. V. (2009). Developing cross-cultural measurement. Oxford University Press. https://doi.org/10.1093/acprof:oso/9780195325089.001.0001

World Health Organization. (2019, May 28). Burn-out an "occupational phenomenon": International Classification of Diseases. https://www.who.int/news/item/28-05-2019-burn-out-an-occupational-phenomenon-international-classification-of-diseases